

บทที่ ๖

สรุปผลการทดลองและข้อเสนอแนะ

๖.๑ การวัดค่าสตอปปิงครอส เช็คชั้นของแกสคาร์บอนไโอลอกไซด์ อากาศ อาร์กอน อออกซิเจน อะเซติลีน ในโตรเจน หุงต้ม ไฮโตรเจน สำหรับอนุภาคอัลฟ่า ๒ วีตี

๖.๑.๑ กำหนดให้ระยะห่างระหว่างต้นกำเนิดรังสีกับหัววัดรังสีคงที่แล้วแปรเปลี่ยนความดันภายในห้องเก็บแกส

๖.๑.๒ กำหนดให้ความดันคงที่แล้วแปรเปลี่ยนระยะห่างระหว่างต้นกำเนิดรังสีกับหัววัดรังสี

ทั้งสองแบบนี้แกสคาร์บอนไโอลอกไซด์ อากาศ อาร์กอน อออกซิเจน อะเซติลีน ในโตรเจน วัดค่าสตอปปิงครอส เช็คชั้นในช่วงพลังงานที่ เหลือของอนุภาคอัลฟ่า ๐.๕-๕ MeV. แกสหุงต้มวัดค่าสตอปปิงครอส เช็คชั้นในช่วงพลังงานที่ เหลือของอนุภาคอัลฟ่า ๐.๘-๕ MeV. แกสไฮโตรเจนวัดค่าสตอปปิงครอส เช็คชั้นในช่วงพลังงานที่ เหลือของอนุภาคอัลฟ่า ๒.๔-๕ MeV.

๖.๒ ค่าสตอปปิงครอส เช็คชั้นของแกสคาร์บอนไโอลอกไซด์ อากาศ อาร์กอน อออกซิเจน อะเซติลีน ในโตรเจน หุงต้ม ไฮโตรเจน จะขึ้นอยู่กับพลังงานที่ เหลือของอนุภาคอัลฟ่า ถ้าพลังงานที่ เหลือของอนุภาคอัลฟ่าเพิ่มมากขึ้นค่าสตอปปิงครอส เช็คชั้นของแกสจะลดลง ดูจากกราฟรูปที่ ๕.๑ ถึงกราฟรูปที่ ๕.๑๖ นอกจากนี้ค่าสตอปปิงครอส เช็คชั้นของแกสต่าง ๆ ยังขึ้นอยู่กับคุณสมบัติของแกสแต่ละชนิดด้วย เช่น ความหนาแน่นของแกส จากราฟรูปที่ ๕.๑๗ ถึงกราฟรูปที่ ๕.๒๔ และค่าสตอปปิงครอส เช็คชั้นของแกสต่าง ๆ ทั้งกรณีแปรเปลี่ยนความดันและกรณีแปรเปลี่ยนระยะห่างระหว่างต้นกำเนิดรังสีกับหัววัดรังสีมีค่าสตอปปิงครอส เช็คชั้นใกล้เคียงกัน

๖.๓ สำหรับแกสไฮโตรเจนค่าสตอปปิงครอส เช็คชั้นจะวัดได้ในช่วงพลังงานที่ เหลือของอนุภาคอัลฟ่า ๒.๔-๕ MeV. กรณีแปรเปลี่ยนความดันภายในห้องเก็บแกส ความดันภายในห้องเก็บแกส ๖๖๐ mm.Hg. พลังงานที่ เหลือของอนุภาคอัลฟ่า ๒.๖ MeV. ถ้าเพิ่มความดันภายในห้อง

เก็บแก๊สให้มากกว่า 660 mm.Hg. ไม่สามารถวัดผลงงานที่เหลือของอนุภาคอัลฟ่าได้ กรณีแปรเปลี่ยนระยะห่างระหว่างต้นกำเนิดรังสีกับหัววัดรังสี เมื่อระยะห่างระหว่างต้นกำเนิดรังสีกับหัววัดรังสี 13 ซม. ความดันคงที่ภายในห้องเก็บแก๊ส 760 mm.Hg. ผลงงานที่เหลือของอนุภาคอัลฟ่า 2.41 MeV. ถ้าเพิ่มระยะห่างระหว่างต้นกำเนิดรังสีกับหัววัดรังสีให้มากกว่า 13 ซม. ที่ความดันเดียวกันนี้ไม่สามารถวัดผลงงานที่เหลือของอนุภาคอัลฟ่าได้ ทั้งนี้เป็นเพราะว่าพิสัยของอนุภาคอัลฟาระยะห่าง 13 ซม. ซึ่งเป็นพิสัยที่ยาวมากเมื่อเทียบกับแก๊สอื่น ๆ เมื่ออนุภาคอัลฟาระยะห่างที่ผ่านแก๊สไฮโตรเจน มันจะสูญเสียผลงงานให้กับอะตอนของแก๊สไฮโตรเจนจนหมดไม่สามารถเคลื่อนที่ผ่านเข้าไปในหัววัดรังสีได้

6.4 แก๊สบีวีเอ็นที่ใช้ทดลองใช้แก๊สทุงต้มแทน จากการวิเคราะห์ความบริสุทธิ์ของแก๊สทุงต้มพบว่า แก๊สทุงต้มประกอบด้วย แก๊สบีเอ็น อีเอ็น โพรเพน ไอโซบีวีเอ็น นอร์มบีวีเอ็น โดยมีความบริสุทธิ์คิดเป็น เปอร์เซนต์ดังนี้

แก๊สบีเอ็น (Ethane) = 0.35 %

แก๊สโพรเพน (Propane) = 28.41 %

แก๊สไอโซบีวีเอ็น (Isobutane) = 28.91 %

แก๊สบีวีเอ็น (n-butane) = 42.83 %

เนื่องจากแก๊สทุงต้มมีแก๊สอื่น ๆ ปนอยู่มากพิสัย เฉลี่ยของอนุภาคอัลฟาระยะห่าง 1.23 ซม. กรณีแปรเปลี่ยนความดันระยะห่างระหว่างต้นกำเนิดรังสีกับหัววัดรังสีเท่ากับ 1.45 ซม. จึงจะเหมาะสมกับการทดลอง สำหรับแก๊สทุงต้มวัดค่าสตดอบปิงครอสเช็คชั้นในช่วงผลงงานที่เหลือของอนุภาคอัลฟ่า 0.8-5 MeV. กรณีแปรเปลี่ยนความดันภายในห้องเก็บแก๊สที่ความดัน 690 mm.Hg. ผลงงานที่เหลือของอนุภาคอัลฟ่า 0.91 MeV. ถ้าเพิ่มความดันภายในห้องเก็บแก๊สมากกว่า 690 mm.Hg. ไม่สามารถวัดผลงงานที่เหลือของอนุภาคอัลฟ่าได้ กรณีแปรเปลี่ยนระยะห่างระหว่างต้นกำเนิดรังสีกับหัววัดรังสี เมื่อระยะห่างระหว่างต้นกำเนิดรังสีกับหัววัดรังสี 1.3 ซม. ความดันภายในห้องเก็บแก๊ส 760 mm.Hg. ผลงงานที่เหลือของอนุภาคอัลฟ่า 0.83 MeV. ถ้าเพิ่มระยะห่างระหว่างต้นกำเนิดรังสีกับหัววัดรังสีไม่สามารถวัดผลงงานที่เหลือของอนุภาคอัลฟ่าได้

ทั้งนี้ เป็น เพราะว่าแกสทุกตัวประกอบด้วยแกสอิเดน โพร์เพน ไอโซบิวเอน นอร์มัลบิวเอน ถึงแม้ว่าระยะห่างระหว่างต้นกำเนิดรังสีกับหัววัดรังสีจะทำกราฟคล่อง ประมาณ 1.45 ซม. แต่อนุภาคอัลฟ่าจะต้องสูญเสียพลังงานให้แกสเหล่านี้และจะต้องสูญเสียพลังงานให้กับอะตอมของอากาศภายในห้อง เก็บแกส ถ้าตู้สเปคตรัมของแกสทุกตัวในรูป 6.4 จะเห็นว่าที่พลังงานที่เหลือของอนุภาคอัลฟ่า 1.43 MeV. จะมีลักษณะคล้ายกัน จะมีพิกเกิลขึ้นอีกซึ่งพิกส่วนนี้เกิดจากความไม่บริสุทธิ์ของแกสทุกตัว

6.5 สำหรับแกสคาร์บอนไออกไซด์ อากาศ อาร์กอน ในໂຕเรน ออกซิเจน อะเซติลีน วัดค่าสตอปปิงครอส เช็คชั่นได้ในช่วงพลังงานที่เหลือของอนุภาคอัลฟ่า 0.2-5 MeV. ช่วงพลังงานที่เหลือของอนุภาคอัลฟ่าที่ต่ำกว่า 0.5 MeV. ค่าสตอปปิงครอส เช็คชั่น ควรจะสูงขึ้นแต่ผลจากการวัดปรากฏว่าค่าสตอปปิงครอส เช็คชั่นช่วงพลังงานที่เหลือของอนุภาคอัลฟ่าต่ำกว่า 0.5 MeV. ค่าสตอปปิงครอส เช็คชั่นจะลดลง ที่เป็นเห็นนี้ เพราะว่าพลังงานของอนุภาคอัลฟ่าส่วนหนึ่งต้องสูญเสียให้กับอากาศภายในห้องเก็บแกสที่สูบออกไม่หมด ซึ่งเราสามารถจะสูบอากาศออกจากห้อง เก็บแกสได้ 730 mm.Hg. เหลืออากาศภายในห้อง เก็บแกส ประมาณ 30 mm.Hg. และการสูญเสียพลังงานของอนุภาคอัลฟ่าให้กับแผ่นทองแดง ๆ ด้านหน้าหัววัดรังสีในช่วงพลังงานต่ำกว่า 0.5 MeV. จะมีผลต่อการเปลี่ยนแปลงค่าสตอปปิงครอส เช็คชั่น ด้วย

แกส	พิสัย เฉลี่ยจากการคำนวณที่ความดัน 760 mm.Hg. อุณหภูมิ 27°C	ระยะห่างระหว่างต้นกำเนิดรังสีกับหัววัดรังสีสำหรับการทำกราฟ (ซม.)	ความดันที่เปลี่ยนแปลง (mm.Hg.)	ระยะห่างระหว่างต้นกำเนิดรังสีกับหัววัดรังสีที่เปลี่ยนแปลง (ซม.)
คาร์บอนไออกไซด์	2.62	2.6	0-740	0-2.5
อากาศ	4.11	3.95	0-740	0-3.8
อาร์กอน	4.77	4.3	0-740	0-4.1
ออกซิเจน	3.76	3.75	0-740	0-3.6
อะเซติลีน	3.32	3.5	0-740	0-3.4
ในໂຕเรน	4.01	4	0-740	0-3.9
ทุงต้ม	1.23	1.45	0-690	0-1.3
ไฮโดรเจน	15.02	15	0-660	0-13

ตารางที่ 6.1 แสดงพิสัย เฉลี่ยที่ได้จากการคำนวณที่อุณหภูมิ 27°C ความดัน 760 mm.Hg . ระยะห่างระหว่างต้นกำเนิดรังสีกับหัววัดรังสีสำหรับทดลอง ช่วงความดันภายในห้อง เก็บแก๊สที่เปลี่ยนแปลงและระยะห่างระหว่างต้นกำเนิดรังสีกับหัววัดรังสีที่สามารถวัดพลังงานที่เหลือของอนุภาคอัลฟ่าได้

ในการที่แปรเปลี่ยนความดันภายในห้องเก็บแก๊ส ระยะห่างระหว่างต้นกำเนิดรังสีกับหัววัดรังสีคงที่และจะเท่ากับพิสัย เฉลี่ยของอนุภาคอัลฟ่าในแก๊สต่าง ๆ ตามตารางที่ 6.1 สำหรับแก๊สอะเซติลีนกับแก๊สทุงต้ม พิสัย เฉลี่ยของอนุภาคอัลฟ่า $3.32 \pm 1.23 \text{ ซม.}$ ตามลำดับ แต่ต้องปรับระยะห่างระหว่างต้นกำเนิดรังสีกับหัววัดรังสี $3.5 \pm 1.45 \text{ ซม.}$ ตามลำดับ ถ้าปรับระยะห่างระหว่างต้นกำเนิดรังสีกับหัววัดรังสีให้เท่ากับพิสัย เฉลี่ยของอนุภาคอัลฟ่า จะวัดพลังงานที่เหลือของอนุภาคอัลฟ่าต่ำกว่า 1.5 MeV . ไม่ได้ เพราะที่ความดัน 760 mm.Hg . พลังงานที่เหลือของอนุภาคอัลฟ่า 1.5 MeV . จึงต้องปรับระยะห่างระหว่างต้นกำเนิดรังสีกับหัววัดรังสีให้มีระยะมากกว่าพิสัยของอนุภาคอัลฟ่าในแก๊สอะเซติลีนและแก๊สทุงต้ม 0.2 ซม. สำหรับแก๊สอะร์กอนพิสัย เฉลี่ยของอนุภาคอัลฟ่า 4.77 ซม. ถ้าปรับระยะห่างระหว่างต้นกำเนิดรังสีกับหัววัดรังสีเท่ากับ 4.77 ซม. จะไม่สามารถวัดพลังงานที่เหลือของอนุภาคอัลฟ่าค่า ๆ ได้ ควรจะปรับระยะห่างระหว่างต้นกำเนิดรังสีกับหัววัดรังสีเท่ากับ 4.3 ซม. จึงจะเป็นระยะที่เหมาะสมที่จะวัดพลังงานที่เหลือของอนุภาคอัลฟ่าต่ำ ๆ ได้ เมื่อปรับระยะห่างระหว่างต้นกำเนิดรังสีกับหัววัดรังสีสำหรับแก๊สตามตารางที่ 6.1 และ แปรเปลี่ยนความดันภายในห้องเก็บแก๊ส สำหรับแก๊สทุงต้ม และแก๊สไออกไซด์ อากาศ อะร์กอน ออกซิเจน อะเซติลีน ในไครเจน พลังงานที่เหลือของอนุภาคอัลฟ่าต่ำสุดสามารถวัดได้ที่ความดัน 740 mm.Hg . สำหรับแก๊สทุงต้ม และแก๊สไออกไซด์ ไครเจน พลังงานที่เหลือของอนุภาคอัลฟ่าต่ำสุดที่สามารถวัดได้ที่ความดัน 690 mm.Hg . และ 660 mm.Hg . ตามลำดับ ถ้าความดันของแก๊สเหล่านี้สูงกว่านี้จะไม่สามารถวัดพลังงานที่เหลือของอนุภาคอัลฟ่าได้

ในการที่แปรเปลี่ยนระยะห่างระหว่างต้นกำเนิดรังสีกับหัววัดรังสีที่ความดันภายในห้องเก็บแก๊ส 760 mm.Hg . สำหรับแก๊สคาร์บอนไกออกไซด์ อากาศ ออกซิเจน อะเซติลีน ในไครเจน ทุงต้ม ไอกไซด์ ระยะห่างระหว่างต้นกำเนิดรังสีกับหัววัดรังสีที่สามารถวัดพลังงานที่เหลือของอนุภาคอัลฟ่าได้เท่ากับ $2.5, 3.8, 4.1, 3.6, 3.4, 3.9, 1.3$ และ 1.3 ซม. ตามลำดับ ที่ระยะห่างระหว่างต้นกำเนิดรังสีกับหัววัดรังสีมากกว่านี้จะไม่สามารถวัด

พลังงานที่เหลือของอนุภาคอัลฟ่าได้

ทั้งนี้เป็น เพราะว่าพลังงานของอนุภาคจะสูญเสียให้กับอะตอมของแกสเหล่านี้ และสูญเสียพลังงานให้กับอะตอมของอากาศภายในห้อง เก็บแกสที่สูบออกไม่หมดและสูญเสียพลังงานให้กับแผ่นทองแดง ๆ ด้านหน้าหัววัตถุรังสีจนหมดจึงไม่มีอนุภาคอัลฟาริ่ง เข้าไปกระทบกับหัววัตถุรังสี

6.7 ค่าสตอปปิงครอส เช็คชั้นของ อากาศ ในไตรเจนและออกซิเจน มีค่าใกล้เคียงกัน ทั้งนี้เป็น เพราะว่าอากาศประกอบด้วยแกสในไตรเจน 78.08 % โดยปริมาตร แกสออกซิเจน 20.95 % โดยปริมาตร

6.8 เครื่องมือวัดค่าสตอปปิงครอส เช็คชั้นใช้ศึกษาถึงการสูญเสียพลังงานของอนุภาคอัลฟ่าในแกสต่าง ๆ และศึกษาถึงอัตราการระหัสทางอนุภาคอัลฟารักบ์กับอะตอมของแกสต่าง ๆ จากตารางที่ 4.3 เมื่อความดันเพิ่มมากขึ้น จำนวนอะตอมของอากาศภายในห้อง เก็บแกสมีมากขึ้น โอกาสที่อนุภาคอัลฟาริ่ง เข้าชนอะตอมของอากาศและสูญเสียพลังงานให้กับอะตอมเหล่านี้มีมากขึ้น พลังงานที่เหลือของอนุภาคอัลฟาริดลงจากเดิม ค่าแทนที่พิเศษของอนุภาคอัลฟาริ่งค่าจากเดิม จากตารางที่ 4.4 เมื่อความดันภายในห้อง เก็บแกสคงที่ 760 mm.Hg. เมื่อระหัสทั่งระหัสทางดันก้าวเดินรังสีกับหัววัตถุรังสีเพิ่มมากขึ้น โอกาสที่อนุภาคอัลฟาริ่งสูญเสียพลังงานให้กับอะตอมของอากาศมีมากขึ้น พลังงานที่เหลือของอนุภาคอัลฟาริดลงจากเดิม ค่าแทนที่พิเศษของอนุภาคจึงค่าจากเดิม

จากภูมิที่ 6.1 และภูมิที่ 6.2 แสดงพิเศษของพลังงานที่เหลือของอนุภาคอัลฟาริ่งในอากาศที่ความดัน 610 mm.Hg. และความดัน 710 mm.Hg. ค่าแทนที่พิเศษคงที่ 187 ช่องและค่าแทนที่ 76 ช่องตามลำดับ จะเห็นได้ว่า เมื่อความดันเพิ่มขึ้น ค่าแทนที่พิเศษจะต่ำลง เพราะอนุภาคอัลฟาริ่งสูญเสียพลังงานให้กับอะตอมของอากาศที่ความดัน 710 mm.Hg. มากกว่าการสูญเสียพลังงานให้กับอะตอมของอากาศที่ความดัน 610 mm.Hg. พลังงานที่เหลือของอนุภาคอัลฟาริ่งเมื่อความดันของอากาศ 710 mm.Hg. เท่ากับ 1.87 MeV. พลังงานที่เหลือของอนุภาคอัลฟาริ่งเมื่อความดันของอากาศ 610 mm.Hg. เท่ากับ 0.76 MeV.

จากรูป 6.3 และ 6.4 แสดงพื้นที่ของพลังงานที่เหลือของอนุภาคอัลฟ่าในแก๊สทุกตัวภายในห้องเก็บแก๊ส 760 mm.Hg. เมื่อระยะห่างระหว่างต้นกำเนิดรังสีกับหัววัดรังสี 0.5 ซม. และ 1.2 ซม. พื้นที่ที่คำนวณ 397 ช่องและ 143 ช่อง ตามลำดับ จะเห็นว่าเมื่อระยะห่างระหว่างต้นกำเนิดรังสีกับหัววัดรังสีเพิ่มมากขึ้น อนุภาคอัลฟ่าจะสูญเสียพลังงานให้กับอะตอมของแก๊สทุกตัวมากขึ้น คำนวณของพื้นที่เมื่อระยะห่างจากต้นกำเนิดรังสีถึงหัววัดรังสี 1.2 ซม. จึงต่อไป พลังงานที่เหลือของอนุภาคอัลฟ่าเมื่อระยะห่างระหว่างต้นกำเนิดรังสีกับหัววัดรังสี 0.5 ซม. เท่ากับ 3.97 MeV. พลังงานที่เหลือของอนุภาคอัลฟ่าเมื่อระยะห่างระหว่างต้นกำเนิดรังสีกับหัววัดรังสี 1.2 ซม. เท่ากับ 1.43 MeV.

6.9 เมื่อนำค่าสคอปปิงครอส เช็คชั้นกับพลังงานที่เหลือของอนุภาคอัลฟ้าไปเขียนแผนภาพการกระจายบนกระดาษกราฟธรรมชาติ ปรากฏว่ากราฟที่ปรากฏแสดงถึงค่าสคอปปิงครอส เช็คชั้นของแก๊สต่าง ๆ และพลังงานของอนุภาคอัลฟាសีความสัมพันธ์กันแบบเอ็กโพเนนเชียล (exponential function) ถ้าเราลากเส้นโค้งผ่านจุดต่าง ๆ ระหว่างข้อมูลเหล่านั้นด้วยมือ เป็นลักษณะที่เกิดความคลาดเคลื่อนได้มาก จึงจำเป็นต้องหาเส้นโค้งที่เหมาะสมกับข้อมูล โดยการคำนวณหาสมการถดถอย (Regression equation) ซึ่งมีรูปแบบสมการโดยทั่วไป $\log y = \log a + (\log b)x$ และจึงหาค่าสคอปปิงครอส เช็คชั้นที่พลังงานที่เหลือของอนุภาคอัลฟ้า สำหรับแก๊สไออกไซด์ไฮโดรเจนแน่น เป็นแบบที่ $y = a + bx$ ทั้งนี้เป็น เพราะว่าแก๊สไออกไซด์ไฮโดรเจนเป็นแก๊สที่มีความหนาแน่นต่ำกว่าทุก ๆ แก๊ส เป็นแก๊สที่เบากว่าอากาศที่ความดันภายในห้องเก็บแก๊สและระยะห่างระหว่างต้นกำเนิดรังสีกับหัววัดรังสีเท่ากับแก๊สอื่น ๆ ถ้าอนุภาคอัลฟ่าเคลื่อนที่ผ่านอะตอมของแก๊สไออกไซด์ไฮโดรเจนจะสูญเสียพลังงานให้กับอะตอมของแก๊สไออกไซด์ไฮโดรเจนน้อยกว่าอะตอมของแก๊สอื่น ๆ

6.10 ค่าสคอปปิงครอส เช็คชั้นของแก๊สต่าง ๆ ที่คำนวณได้ตามตารางที่ 4.1 ถึงตารางที่ 4.16 และค่าสคอปปิงครอส เช็คชั้นของแก๊สต่าง ๆ ที่คำนวณได้ตามตารางที่ 5.5 ถึงตารางที่ 5.20 นั้นนำไปเขียนกราฟลงบนกระดาษกราฟแบบ ล็อก-ล็อก (log-log scale)

6.11 ค่าสคอปปิงครอส เช็คชั้นของแก๊สต่าง ๆ ทั้งกรณีแปรเบลี่ยนความดันและแปรเบลี่ยนระยะห่างระหว่างต้นกำเนิดรังสีกับหัววัดรังสีมีค่าใกล้เคียงกัน ตามกราฟรูปที่ 5.17 ถึงกราฟรูปที่ 5.24

6.12 ค่าสศอปปิงครอส เช็คชีนที่คำนวณได้ตามสมการที่ 2.14 และสมการที่ 2.15 จะมีความถูกต้องมากน้อยเพียงใดขึ้นอยู่กับเงื่อนไขดังนี้

6.12.1. อุณหภูมิแกส

อุณหภูมิของแกสในห้องเก็บแกสจะมีผลทำให้อุณหภูมิเท้าก้ม อุณหภูมิมาตรฐานที่ใช้ทำการทดลองในห้องปฏิบัติการเท่ากับ 27°C ขณะทำการทดลองอุณหภูมิอาจจะเปลี่ยนแปลงบ้าง ความคลาดเคลื่อนของอุณหภูมิประมาณ $\pm 1^{\circ}\text{C}$

6.12.2. ความดันแกส

ความดันแกสภายในห้องเก็บแกสในการพิทีเราแปรเปลี่ยนความดัน 0-660 mm.Hg. ความดันช่วงนี้เราจะแปรเปลี่ยนความดันช่วงละ 50 mm.Hg. ความดันช่วงนี้คลาดเคลื่อนประมาณ ± 4 mm.Hg. ความดันตั้งแต่ 670-740 mm.Hg. ความดันช่วงนี้จะแปรเปลี่ยนครั้งละ 10 mm.Hg. ความคลาดเคลื่อนประมาณ ± 1 mm.Hg. ถ้าความดันภายในห้องเก็บแกสคงที่ที่ 760 mm.Hg. ให้ความดันคลาดเคลื่อน ± 2 mm.Hg.

6.12.3. ระยะห่างระหว่างต้นกำเนิดรังสีกับหัววัดรังสี

ระยะห่างระหว่างต้นกำเนิดรังสีกับหัววัดรังสีแปรเปลี่ยนได้ในช่วงไม่เกิน 15 ซม. ระยะทางที่วัดได้คลาดเคลื่อนประมาณไม่เกิน ± 0.5 mm.

6.12.4. พลังงานที่เหลือของอนุภาคอัลฟ่า

ความคลาดเคลื่อนจากการคำนวณหาพลังงานที่เหลือของอนุภาคอัลฟ่า เป็นเรื่องที่สำคัญมาก ถ้าคำนวณพลังงานที่เหลือของอนุภาคอัลฟานี้ถูกต้อง ค่าสศอปปิงครอส เช็คชีนที่คำนวณให้จะคลาดเคลื่อนจากความเป็นจริง พลังงานที่เหลือของอนุภาคอัลฟานี้คำนวณจากตัวแทนพีคของสเปคตรัม พลังงานที่เหลือของอนุภาคอัลฟาระสูง ๆ ความสามารถในการแยกพลังงานของระบบวิเคราะห์พลังงานของอนุภาคอัลฟาระจะแยกพลังงานได้ต่ำมาก ตัวแทนพีคที่หาได้จากสเปคตรัมมีความคลาดเคลื่อนน้อย ตัวแทนพีคที่พลังงานที่เหลือของอนุภาคอัลฟาระสูง ๆ นี้คลาดเคลื่อนประมาณ ± 1 ช่อง พลังงานที่เหลือของอนุภาคอัลฟาระต่ำ ๆ ความสามารถในการ

แยกพลังงานของระบบวิเคราะห์พลังงานของอนุภาคอัลฟ่าจะแยกพลังงานได้ไม่ดี พลังงานที่เหลือของอนุภาคอัลฟ่าต่ำ ๆ ความคลาดเคลื่อนของค่าแทนน์พีคจากสเปคตรัมเท่ากับ ± 2 ช่อง

6.12.5 การแปรเปลี่ยนกำลังขยายสัญญาณในระบบวิเคราะห์พลังงาน เป็นสาเหตุหนึ่งที่จะทำให้ค่าแทนน์พีคจากสเปคตรัมคลาดเคลื่อน ทุกครั้งที่จะวัดพลังงานที่เหลือของอนุภาคอัลฟ่า ไม่ว่าจะแปรเปลี่ยนความดันหรือแปรเปลี่ยนระยะห่างระหว่างต้นกำเนิดรังสีกับหัววัดรังสีจะต้องหาค่าแทนน์พีคของสเปคตรัมอนุภาคอัลฟ่าที่พลังงาน 5.476 MeV. พีคจะอยู่ที่ช่อง 547 ถ้ากำลังขยายสัญญาณในระบบวิเคราะห์พลังงานแปรเปลี่ยนไปให้ความคลาดเคลื่อนได้ ± 2 ช่อง

6.12.6. สาเหตุอื่น ๆ ที่จะทำให้เกิดความคลาดเคลื่อนในระบบการวัดพลังงานที่เหลือของอนุภาคอัลฟ่า คือ

6.12.6.1 พลังงานอนุภาคอัลฟ่าจะสูญเสียพลังงานให้กับแผ่นทองแดง ๆ ด้านหน้าหัววัดรังสี

6.12.6.2 ความคลาดเคลื่อนเนื่องจากระบบการวิเคราะห์พลังงานไม่เป็นแบบลิเนียร์

6.13 ค่าสตอปปิงครอส เช็คชั้นของแกสต่าง ๆ กรณีแปรเปลี่ยนความดันและแปรเปลี่ยนระยะทางระหว่างต้นกำเนิดรังสีกับหัวรังสี แสดงค่าตามตารางที่ 6.2 และตารางที่ 6.3

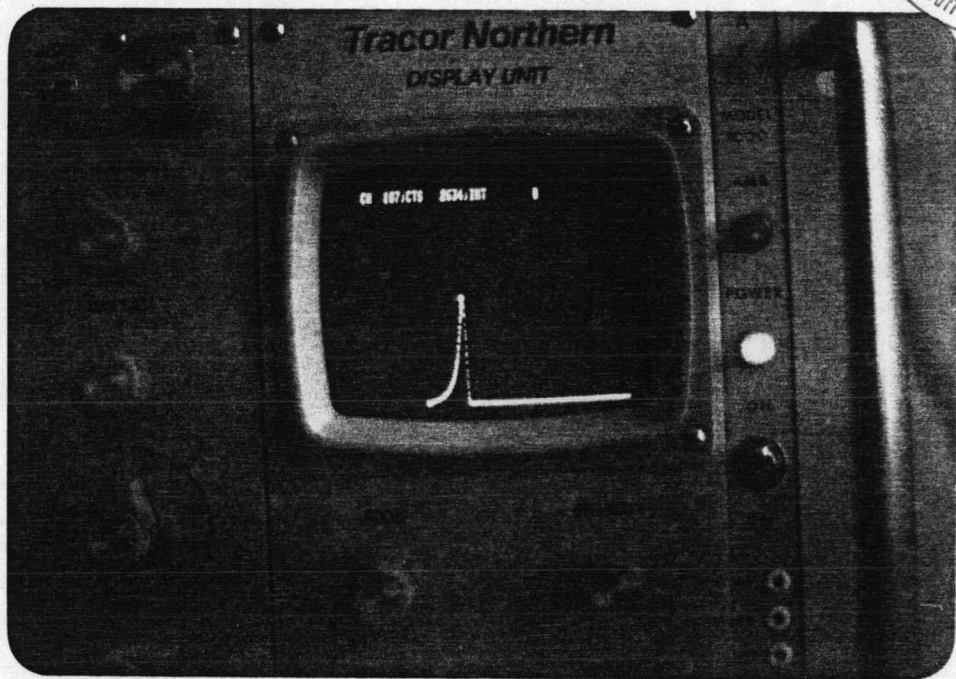
ตารางที่ 6.2 แสดงค่าสตอปปิงครอส เช็คชั่นของแกสต่าง ๆ ในหน่วย $\times 10^{-15} \text{ eV.cm}^2 /$

molecule กรณีแปรเปลี่ยนความดัน

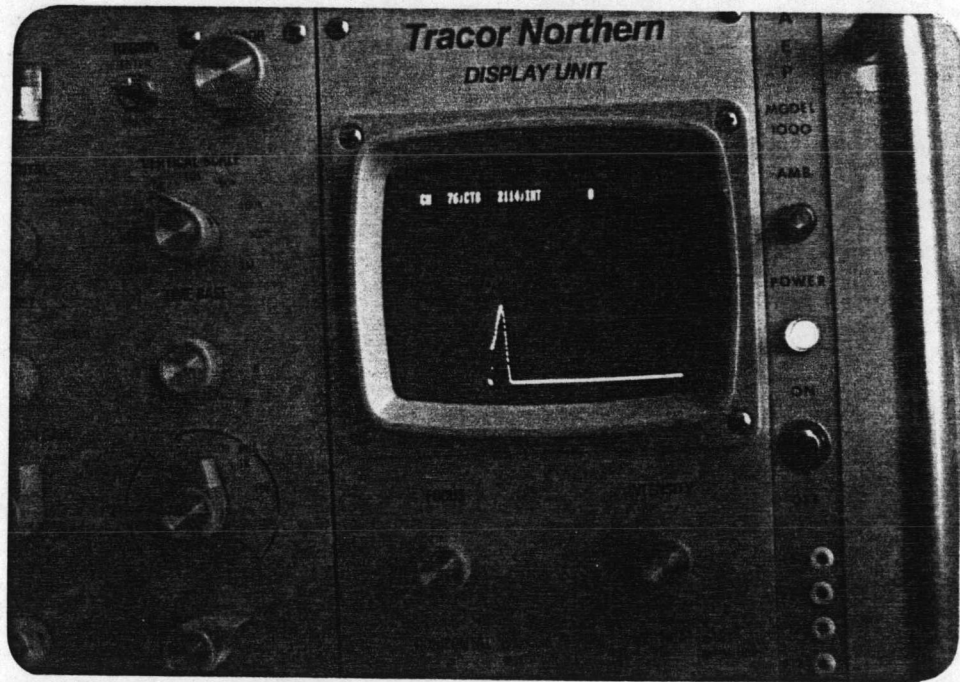
E (MeV)	CO_2	Air	Ar.	O_2	C_2H_2	N_2	H_2	ทุกค่า
0.7	148.25	100	89.33	104.47	115.61	99.08		
0.8	144.88	98.17	87.29	100	112.72	96.61		271.64
0.9	141.58	95.5	85.3	99.77	109.9	94.41		265.46
1	138.36	93.32	83.37	97.5	107.15	92.04		258.82
1.2	132.13	89.13	79.62	93.11	101.86	87.7		246.6
1.4	126.18	84.33	76.03	88.92	96.83	83.56		234.42
1.6	120.78	80.17	72.78	84.72	92.04	79.43		223.36
1.8	115.35	76.21	69.5	80.91	87.49	75.68		212.32
2	110.15	72.44	66.37	77.29	83.17	72.11		202.3
2.2	105.19	68.86	63.09	73.79	79.07	68.7		192.75
2.4	100	65.46	60.5	70.47	75.16	65.46		183.23
2.6	95.94	62.23	57.94	67.14	71.45	62.23	11.87	174.58
2.8	91.83	59.16	55.34	64.12	67.92	59.29	11.55	165.96
3	87.7	56.23	52.84	61.24	64.57	56.49	11.23	158.12
3.2	83.75	53.46	50.47	58.48	61.38	53.83	10.91	150.66
3.4	79.43	50.81	48.19	55.85	58.34	51.77	10.59	143.22
3.6	76.56	48.3	46.13	53.21	55.46	48.75	10.26	134.89
3.8	73.11	45.92	44.06	50.82	52.72	46.45	9.94	128.82
4	69.82	43.65	42.07	48.53	50.12	44.26	9.62	123.59
4.2	66.69	41.49	40.18	46.45	47.64	42.17	9.29	117.76
4.4	63.09	39.45	38.37	44.26	45.29	40.18	8.98	111.94
4.6	60.95	37.49	36.73	42.17	43.05	38.19	8.65	106.66
4.8	58.21	35.65	35.08	40.27	40.93	36.39	8.33	101.39
5	55.59	33.88	33.49	38.46	38.9	34.67	8.01	96.6

ตารางที่ 6.3 แสดงค่าสตอปปิงครอส เช็คชั่นของแกลต์ต่าง ๆ กรณีแปร เปลี่ยนระยะห่างระหว่างตัวกัน เนิรังสีกับหัวตัวรังสี หน่วย $\epsilon \times 10^{-15} \text{ eV} \cdot \text{cm}^2/\text{molecule}$

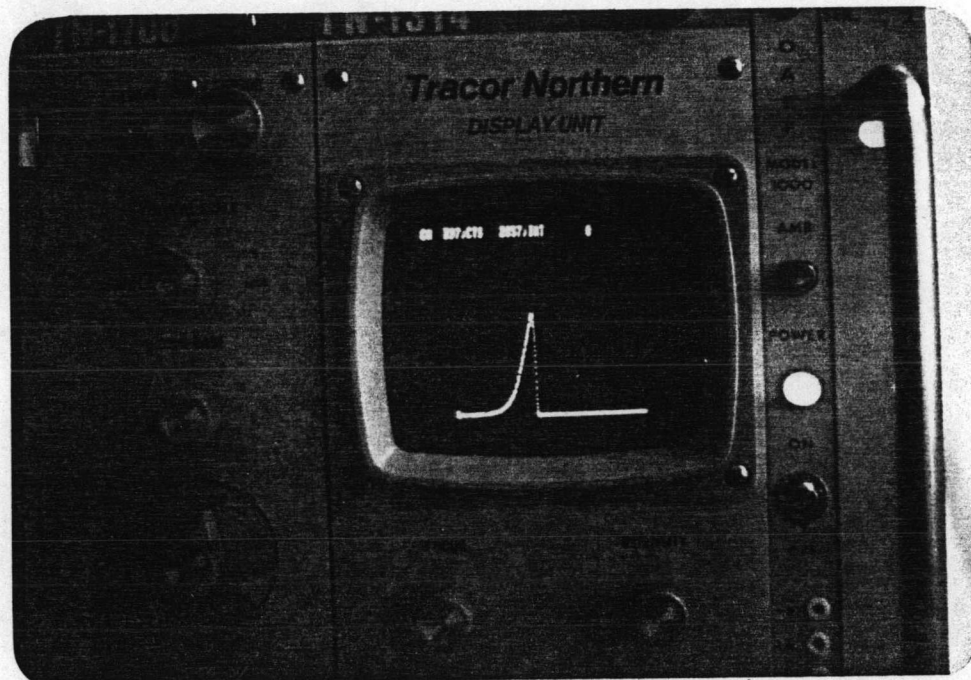
E (MeV)	CO_2	Air	Ar.	O_2	C_2H_2	N_2	H_2	ทุกตัว
0.7	142.23	98.4	86.09	95.28	113.76	92		
0.8	138.67	95.94	83.95	93.11	110.66	89.94		228.03
0.9	135.2	93.54	82.04	90.99	107.65	87.7		223.35
1	131.83	91.2	79.98	88.92	104.71	85.51		218.78
1.2	125.31	86.69	76.2	84.92	99.08	81.28		209.89
1.4	119.12	82.41	72.44	81.28	93.76	77.45		201.37
1.6	113.24	78.34	69.02	77.27	88.72	73.62		193.19
1.8	107.65	74.47	65.61	73.79	83.95	70.15		185.35
2	102.33	70.79	62.52	70.47	79.43	66.68		177.83
2.2	97.27	67.29	59.57	67.29	75.16	63.38		170.61
2.4	92.46	63.97	56.62	64.27	71.12	60.26	12.88	163.68
2.6	87.9	60.81	53.95	61.24	67.3	57.41	12.44	157.04
2.8	83.56	57.81	51.29	58.48	63.68	54.7	12	150.66
3	79.43	54.95	48.87	55.85	60.26	51.99	11.56	144.54
3.2	75.5	52.24	46.56	53.33	57.02	49.43	11.12	138.68
3.4	71.78	49.66	44.26	50.93	53.95	47.1	10.68	133.05
3.6	68.23	47.21	42.17	48.53	51.05	44.77	10.23	127.64
3.8	64.86	44.87	40.09	46.34	48.3	42.66	9.79	122.46
4	61.66	42.65	38.19	44.26	45.7	40.55	9.35	117.49
4.2	58.61	40.55	36.39	42.27	43.25	38.55	8.91	112.72
4.4	55.72	38.55	34.59	40.36	40.93	36.73	8.47	108.14
4.6	52.97	36.64	32.96	38.46	38.73	34.91	8.02	103.75
4.8	50.35	34.83	31.33	36.73	36.64	33.27	7.58	99.55
5	47.86	33.11	29.85	35.08	34.67	31.62	7.14	95.49



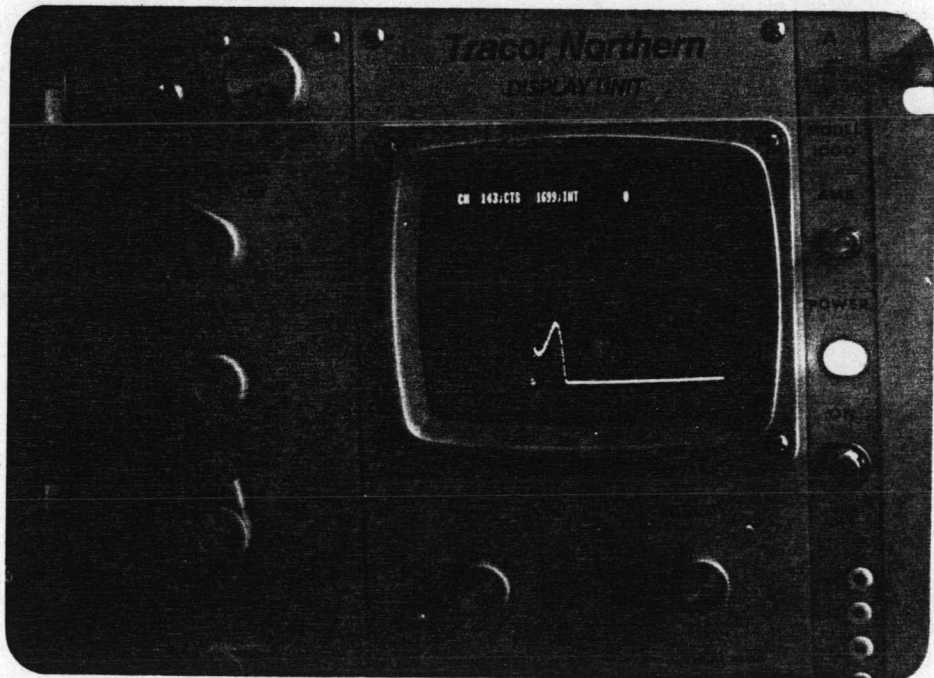
รูปที่ 6.1 แสดงพีคของหลังงานที่เหลือของอนุภาคอัลฟ่าในอากาศที่อุณหภูมิ 27°C ความดัน
อากาศ 610 mm.Hg. พีคอยู่ที่ค่าແண่ง 187 ช่อง



รูปที่ 6.2 แสดงพีคของหลังงานที่เหลือของอนุภาคอัลฟ่าในอากาศที่อุณหภูมิ 27°C ความดัน
อากาศ 710 mm.Hg. พีคอยู่ที่ค่าແண่ง 76 ช่อง



รูปที่ 6.3 แพ็คเกจของหลังงานที่เหลือของอนุภาคอัลฟ่าในแกสทุงต้ม ที่อุณหภูมิ 27°C ความดัน
แกสทุงต้ม 760 mm.Hg. ระยะห่างระหว่างต้นก้า เมตรรังสีกับหัววัดรังสี 0.5 ซม.
พีคอยู่ที่ค่าแทนนง 397 ช่อง



รูปที่ 6.4 แพ็คเกจของหลังงานที่เหลือของอนุภาคอัลฟ่าในแกสทุงต้ม ที่อุณหภูมิ 27°C ความดัน
แกสทุงต้ม 760 mm.Hg. ระยะห่างระหว่างต้นก้า เมตรรังสีกับหัววัดรังสี 1.2 ซม..
พีคอยู่ที่ค่าแทนนง 143 ช่อง

ข้อเสนอแนะ

1. เครื่องวัดความตัน

เครื่องวัดความตันช่วงความตันต่ำกว่าบรรยายกาศ แต่ละช่วงมีความแตกต่างกัน 50 mm.Hg . ยกเว้นช่วงแรกมีความแตกต่างกัน 60 mm.Hg . ในกรณีที่แปรเปลี่ยนความตันช่วง $670-740 \text{ mm.Hg}$. ความตันเปลี่ยนแปลงครั้งละ 10 mm.Hg . สเกลวัดความตันช่วงละ 10 mm.Hg . ของเครื่องวัดความตันไม่มี จึงต้องแบ่งสเกลช่วงละ 50 mm.Hg . ออกเป็นช่วงละ 10 mm.Hg . ความตันที่อ่านได้ในช่วงนี้อาจจะคลาดเคลื่อนจากความเป็นจริงและที่ความตันต่ำกว่า 670 mm.Hg . ถ้าต้องการวัดความตันครั้งละ 10 mm.Hg . เพื่อวัดค่าสตอป-ปิงครอส เชคชิ้นของแกส เปรียบเทียบกับค่าสตอปปิงครอสเชคชิ้นที่วัดได้ที่แปรเปลี่ยนความตันครั้งละ 50 mm.Hg . ไม่สามารถจะทำได้ ดังนั้นเครื่องวัดความตันที่ใช้ควรให้ความละเอียดของสเกลอ่านความตันโดยแต่ละช่องความตันที่อ่านได้ควรแตกต่างกันอย่างมาก 10 mm.Hg .

2. เครื่องวัดอุณหภูมิ

อุณหภูมิภายในห้อง เก็บแกสกับอุณหภูมิภายในห้องขณะทำการทดลองในลักษณะกัน การวิจัยนี้ควบคุมให้อุณหภูมิภายในห้อง เก็บแกสคงที่ที่ 27°C ความคลาดเคลื่อนของอุณหภูมิขณะทำการทดลอง $\pm 1^{\circ}\text{C}$ สเกลของเครื่องวัดอุณหภูมิแต่ละช่วงต่างกัน 1°C ความคลาดเคลื่อนของการอ่านอุณหภูมิในช่วงนี้มีผลต่อค่าสตอปปิงครอสเชคชิ้นของแกสที่คำนวณได้เล็กน้อย ดังนั้นเครื่องวัดอุณหภูมิ สเกลของ เครื่องวัดควรจะแตกต่างกันแต่ละช่วง 1 ช่องต่อ 1°C

3. หัววัดรังสี

หัววัดรังสีที่ใช้ทำการวิจัย ความสามารถในการแยกพลังงาน 24 keV . พื้นที่รับรังสี 300 mm^2 ถ้าใช้หัววัดรังสีที่มีความสามารถในการแยกพลังงานต่ำกว่านี้จะทำให้ความแม่นยำในการหาค่า百分率พิเศษจากสเปกตรัมได้ต่ำมากขึ้น

4. กำลังขยายสัญญาณ

ขณะทำการทดลองใช้อัตราการขยายสัญญาณ คอร์สเกน (Coarse gain) = 16, ไฟน์เกน (Fine gain) = 1 ถ้าปรับกำลังขยายสัญญาณสูงกว่านี้ จะมีสัญญาณอื่นมาบุก แล้วเททิม (Dead Time) สูงทำให้วัดค่าแทนที่ของพิเศษจากสเปคครั้งต่อๆ ไปความจริงมาก ดังนั้นกำลังขยายสัญญาณจึงไม่ควรปรับสูงเกินไป โดยสังเกตจากเปอร์เซนต์บนสเกลของ เททิมในคราวเกิน 5 %

5. ห้องเก็บแกสทำด้วยเหล็กทำให้มีน้ำหนักมาก ควรจะทำด้วยอลูมิเนียมจะทำให้มีน้ำหนักเบา

6. ฝ้าปิดห้องเก็บแกสทำด้วยพลาสติกทึบแสงสีอะไรก็ได้ แต่แสงต้องผ่านเข้าไปในห้องเก็บ แกสไม่ได้ ความหนาของพลาสติกอย่างต่ำ 11 มม. และไม่ควรเกิน 12 mm.Hg. ถ้าฝ้าปิด ห้องเก็บแกสบางกว่านี้เมื่อสูบอากาศออกแผ่นพลาสติกจะถูกดูดทำให้แผ่นพลาสติกองอีก ถ้าไม่มี แผ่นพลาสติกหนาขนาดนี้ ควรใช้แผ่นอลูมิเนียมหนา $1\frac{1}{2}$ ทูน แทนได้ไม่ควรใช้แผ่นพลาสติก 2 แผ่นประกอบกันแล้วติดต่อกันด้วยกระดาษติดพลาสติก เพราะอาจเกิดช่องว่างขึ้นระหว่างแผ่นพลาสติกที่ติด กันไม่สนิท เมื่อสูบอากาศออกจากห้องเก็บแกสพลาสติกด้านในที่ติดกันห้องเก็บแกสอาจจะหักแรง ถูกไม่ไหวทำให้แตกได้ ถ้าจำเป็นต้องใช้แผ่นพลาสติกสองแผ่นประกอบกันทำเป็นฝ้าปิดห้องเก็บแกส ควรจะทำให้แผ่นพลาสติก 2 แผ่นติดกันสนิทและควรใช้แผ่นพลาสติกหนาอย่างน้อย 8 mm.Hg. ทำ เป็นฝ้าปิดด้านใน

ระวังอย่าให้แผ่นพลาสติกด้านในมีรอยชูก ถ้าเกิดรอยชูกขึ้นควรใช้กระดาษทราย อย่างละเอียด เบอร์ศูนย์ขึ้น แล้วใช้ผ้ากันยาขัด เงาพลาสติกขัดจนกว่าจะหมดรอยชูก เพื่อบังกัน การรีชีมของอากาศเข้าไปในห้องเก็บแกสและควรระวังอย่าให้มีรอยชูก เขียนบริเวณแผ่นพลาสติก ที่ติดกันย่างวงให้มากสุด

7. วางยางรองรับห้องเก็บแกสที่ใช้ทำภาระวิจัย เส้นผ่าศูนย์กลาง 0.5 ซม. อาจใช้วางยาง เส้น ผ่าศูนย์กลางมากกว่านี้ก็ได้จะทำให้ป้องกันการรีชีมของอากาศเข้าไปในห้องเก็บแกสดีขึ้น

8. ร่องวางยางที่สัมผัสน้ำหนักห้องเก็บแก๊สควรจะทำจากยางพนีกฟลูมิลิโคน สามารถยึดหยุ่นให้และทำให้วางยางติดกับห้องเก็บแก๊สได้ดี
9. ด้านหน้าวางยางหรือที่ฝาปิดห้องเก็บแก๊สควรทาสารบีทบีริ เวณส่วนที่วางยางจะสัมผัสน้ำหนักเพื่อบังกันการซึมของอากาศเข้าไปด้านในห้องเก็บแก๊ส
10. เมื่อทำการทดลองวัดค่าสตอปปิงครอสเซ็คชั่นที่ความดันสูง ควรจะมีที่ยึดให้ฝาปิดห้องเก็บแก๊สแน่นมาก ๆ เพื่อบังกันการรั่วซึมของแก๊สต่าง ๆ ออกหรือเข้าห้องเก็บแก๊ส
11. ตามรอยต่อต่าง ๆ ของสายยางจากห้องเก็บแก๊สไปเครื่องสูบอากาศหรือเครื่องวัดความดันหรือเครื่องวัดอุณหภูมิ ควรจะใช้กาวอีพอกซี (epoxy) อุดเพื่อบังกันการรั่วซึมของอากาศเข้าสู่ห้องเก็บแก๊ส
12. ขณะทำการทดลองวัดผลงานที่เหลือของอนุภาคอัลฟาร์ที่สูญเสียจากห้องกรณีแปรเปลี่ยนความดันและกรณีแปรเปลี่ยนระยะห่างระหว่างต้นกำเนิดรังสีกับหัวรังสี ความแรงรังสีของต้นกำเนิดรังสีไม่ควรจะทำให้เตดไทม์เกิน 5 %